

离散神经网络控制系统中,常采用梯度下降法实现神经网络权值的学习,有代表性的研究工作如文献[1,2]。

3.1 基于 RBF 神经网络的监督控制

3.1.1 RBF 监督控制

图 3.1 为基于 RBF 神经网络的监督控制系统,其控制思想为:初始阶段采用 PD 反馈控制,然后过渡到神经网络控制。在控制过程中,如出现较大的误差,则 PD 控制起主导作用,神经网络控制起调节作用。

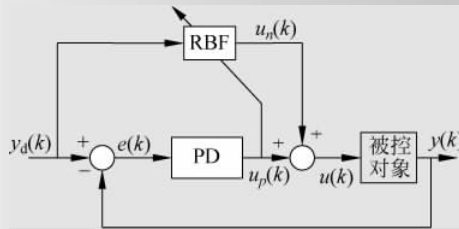


图 3.1 基于 RBF 神经网络的监督控制系统

设径向基向量为 $\mathbf{h} = [h_1, \dots, h_m]^T$, h_j 为高斯函数,则

$$h_j = \exp\left(-\frac{\|\mathbf{x}(k) - \mathbf{c}_j\|^2}{2b_j^2}\right) \quad (3.1)$$

其中, $i=1, j=1, \dots, m$; $\mathbf{x}(k)$ 为 RBF 网络的输入; $\mathbf{c}_j = [c_{11}, \dots, c_{1m}]$; $\mathbf{b} = [b_1, \dots, b_m]^T$ 。

设权值向量为

$$\mathbf{w} = [w_1, \dots, w_m]^T \quad (3.2)$$

RBF 神经网络的输出为

$$u_n(k) = h_1 w_1 + \dots + h_j w_j + \dots + h_m w_m \quad (3.3)$$

其中, m 为隐含层节点的个数。

总控制输入为 $u(k) = u_n(k) + u_p(k)$, 误差指标为

$$E(k) = \frac{1}{2} (u_n(k) - u(k))^2 \quad (3.4)$$

采用梯度下降法,网络权值学习算法为

$$\Delta w_j(k) = -\eta \frac{\partial E(k)}{\partial w_j(k)} = \eta (u_n(k) - u(k)) h_j(k)$$

$$\mathbf{w}(k) = \mathbf{w}(k-1) + \Delta\mathbf{w}(k) + \alpha(\mathbf{w}(k-1) - \mathbf{w}(k-2)) \quad (3.5)$$

其中, $\eta \in [0, 1]$ 为学习速率, $\alpha \in [0, 1]$ 为动量因子。

3.1.2 仿真实例

设控制对象为

$$G(s) = \frac{1000}{s^3 + 87.35s^2 + 10470s}$$

取采样周期为 1ms, 对上述对象进行离散化, 可得

$$\begin{aligned} y(k) = & -\text{den}(2)y(k-1) - \text{den}(3)y(k-2) \\ & + \text{num}(2)u(k-1) + \text{num}(3)u(k-2) \end{aligned}$$

取神经网络的结构为 1-4-1, 理想跟踪指令为 $x(k) = y_d(k)$, 网络的初始权值取 $[0, 1]$ 之间的随机数, 根据网络的输入范围, 高斯函数参数取 $c = [-5 \quad -3 \quad 0 \quad 3 \quad 5]^T$ 。取学习速率 $\eta = 0.30$, 动量因子 $\alpha = 0.05$ 。

仿真结果如图 3.2 和图 3.3 所示。RBF 监督控制的仿真程序为 chap3_1.m, 详见附录。

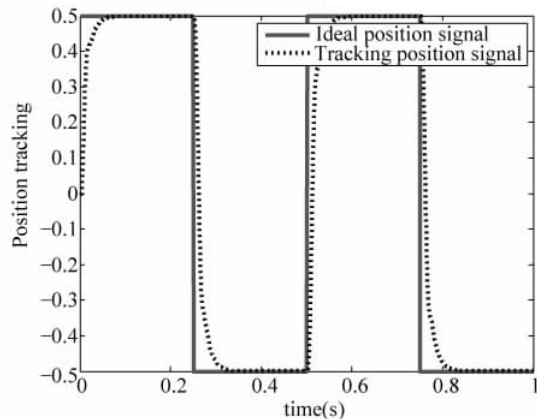


图 3.2 方波跟踪效果

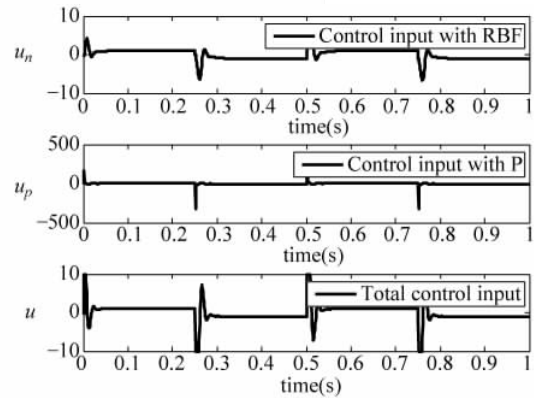


图 3.3 神经网络输入、PD 控制输入及总控制输入

3.2 基于 RBF 神经网络的模型参考自适应

3.2.1 控制系统设计

图 3.4 为基于 RBF 神经网络的模型参考自适应控制系统框图。

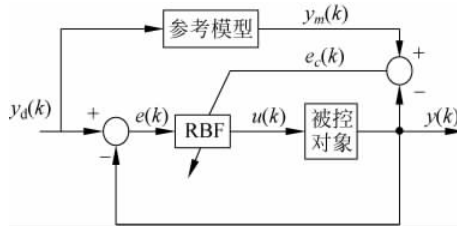


图 3.4 基于 RBF 神经网络的模型参考自适应控制系统

设理想跟踪指令为 $y_m(k)$, 则定义跟踪误差为

$$e(k) = y_m(k) - y(k) \quad (3.6)$$

网络权值学习误差指标为

$$E(k) = \frac{1}{2} e(k)^2 \quad (3.7)$$

控制输入为 RBF 网络的输出:

$$u(k) = h_1 w_1 + \cdots + h_j w_j + \cdots + h_m w_m \quad (3.8)$$

其中, m 为隐含层的节点个数, w_j 为节点的权值, h_j 为高斯基函数的输出。

在 RBF 网络中, $x = [x_1, \dots, x_n]^T$ 为网络输入, $h = [h_1, \dots, h_m]^T$, h_j 为高斯函数:

$$h_j = \exp\left(-\frac{\|x - c_j\|^2}{2b_j^2}\right) \quad (3.9)$$

其中, $i=1, \dots, n, j=1, \dots, m$ 。 $b_j > 0$, $c_j = [c_{j1}, \dots, c_{ji}, \dots, c_{jn}]$, $b = [b_1, \dots, b_m]^T$ 。

设权值向量为

$$w = [w_1, \dots, w_m]^T \quad (3.10)$$

由梯度下降法, 网络的学习算法为

$$\begin{aligned} \Delta w_j(k) &= -\eta \frac{\partial E(k)}{\partial w} = \eta e_c(k) \frac{\partial y(k)}{\partial u(k)} h_j \\ w_j(k) &= w_j(k-1) + \Delta w_j(k) + \alpha \Delta w_j(k) \end{aligned} \quad (3.11)$$

其中, η 为学习速率; α 为动量因子; $\eta \in [0, 1]$, $\alpha \in [0, 1]$ 。

同理可得

$$\begin{aligned} \Delta b_j(k) &= -\eta \frac{\partial E(k)}{\partial b_j} = \eta e_c(k) \frac{\partial y(k)}{\partial u(k)} \frac{\partial u(k)}{\partial b_j} \\ &= \eta e_c(k) \frac{\partial y(k)}{\partial u(k)} w_j h_j \frac{\|x - c_j\|^2}{b_j^3} \end{aligned} \quad (3.12)$$

$$b_j(k) = b_j(k-1) + \eta \Delta b_j(k) + \alpha(b_j(k-1) - b_j(k-2)) \quad (3.13)$$

$$\Delta c_{ij}(k) = -\eta \frac{\partial E(k)}{\partial c_{ij}} = \eta e_c(k) \frac{\partial y(k)}{\partial u(k)} \frac{\partial u(k)}{\partial c_{ij}}$$

$$= \eta e_c(k) \frac{\partial y(k)}{\partial u(k)} w_j h_j \frac{x_i - c_{ij}}{b_j^2} \quad (3.14)$$

$$c_{ij}(k) = c_{ij}(k-1) + \eta \Delta c_{ij}(k) + \alpha(c_{ij}(k-1) - c_{ij}(k-2)) \quad (3.15)$$

其中, $\frac{\partial y(k)}{\partial u(k)}$ 为 Jacobian 阵, 表征系统输出对控制输入的灵敏度。

3.2.2 仿真实例

取离散被控对象为

$$y(k) = (-0.10y(k-1) + u(k-1)) / (1 + y(k-1)^2)$$

其中, 采样周期为 $ts = 1\text{ms}$, 参考模型为 $y_m(k) = 0.6y_m(k-1) + y_d(k)$, 理想跟踪指令为 $y_d(k) = 0.50\sin(2\pi k \times ts)$ 。

取 RBF 神经网络的输入为 $y_d(k)$ 、 $e(k)$ 和 $u(k)$, 学习速率为 $\eta = 0.35$, 动量因子为 $\alpha = 0.05$ 。

高斯函数参数初值为 $c = \begin{bmatrix} -3 & -2 & -1 & 1 & 2 & 3 \end{bmatrix}^\top$, $b = [2, 2, 2, 2, 2, 2]^\top$, 网络初始权值为 $w = [-0.0316 \quad -0.0421 \quad -0.0318 \quad 0.0068 \quad 0.0454 \quad -0.0381]$ 。

仿真结果如图 3.5 和图 3.6 所示。基于 RBF 神经网络的模型参考自适应控制程序为 chap3_2.m。

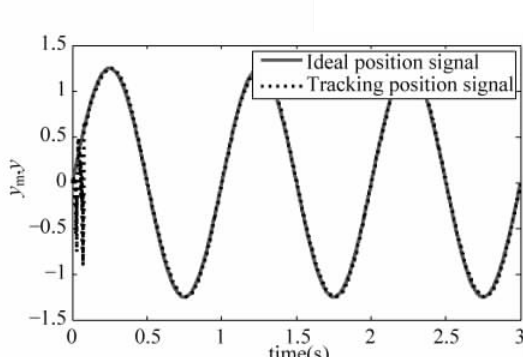


图 3.5 正弦跟踪

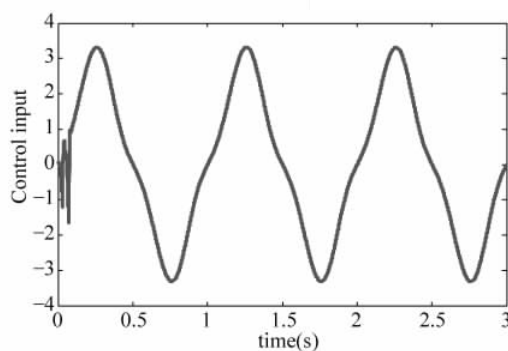


图 3.6 控制输入

3.3 RBF 自校正控制

3.3.1 系统描述

考虑被控对象为

$$y(k+1) = g[y(k)] + \phi[y(k)]u(k) \quad (3.16)$$

其中, $y(k)$ 为系统输出; $u(k)$ 控制输入。

设 $y_d(k)$ 为理想跟踪指令。如果 $g[\cdot]$ 和 $\phi[\cdot]$ 为已知的, 设计自校正控制器为

$$u(k) = \frac{-g[\cdot]}{\phi[\cdot]} + \frac{y_d(k+1)}{\phi[\cdot]} \quad (3.17)$$

在实际工程中 $g[\cdot]$ 和 $\phi[\cdot]$ 通常是未知的, 控制器式(3.17)难以实现, 采用 RBF 神经网络逼近 $g[\cdot]$ 和 $\phi[\cdot]$, 可有效解决这一难题。

3.3.2 RBF 控制算法设计

如果 $g[\cdot]$ 和 $\phi[\cdot]$ 未知, 可利用 RBF 网络逼近 $g[\cdot]$ 和 $\phi[\cdot]$, 从而得到 $g[\cdot]$ 和 $\phi[\cdot]$ 的估计值, 记为 $Ng[\cdot]$ 和 $N\phi[\cdot]$, 则自校正控制器为

$$u(k) = \frac{-Ng[\cdot]}{N\phi[\cdot]} + \frac{y_d(k+1)}{N\phi[\cdot]} \quad (3.18)$$

其中, $Ng[\cdot]$ 和 $N\phi[\cdot]$ 为 RBF 神经网络的逼近输出。

分别采用两个 RBF 神经网络逼近 $g[\cdot]$ 和 $\phi[\cdot]$, \mathbf{W} 和 \mathbf{V} 分别为两个神经网络的权值。在 RBF 网络设计中, 取 $y(k)$ 为网络输入, $\mathbf{h} = [h_1, \dots, h_m]^T$, h_j 为高斯函数:

$$h_j = \exp\left(-\frac{\|y(k) - \mathbf{c}_j\|^2}{2b_j^2}\right) \quad (3.19)$$

其中, $i=1, j=1, \dots, m$; $b_j > 0$; $\mathbf{c}_j = [c_{11}, \dots, c_{1m}]$; $\mathbf{b} = [b_1, \dots, b_m]^T$ 。

设 RBF 网络的权值为

$$\mathbf{W} = [\omega_1, \dots, \omega_m]^T \quad (3.20)$$

$$\mathbf{V} = [v_1, \dots, v_m]^T \quad (3.21)$$

两个 RBF 网络的输出分别为

$$Ng(k) = h_1\omega_1 + \dots + h_j\omega_j + \dots + h_m\omega_m \quad (3.22)$$

$$N\phi(k) = h_1v_1 + \dots + h_jv_j + \dots + h_mv_m \quad (3.23)$$

其中, m 为隐含层节点的个数。

基于 RBF 神经网络逼近的输出为

$$y_m(k) = Ng[y(k-1); \mathbf{W}(k)] + N\phi[y(k-1); \mathbf{V}(k)]u(k-1) \quad (3.24)$$

基于神经网络 $Ng[\cdot]$ 和 $N\phi[\cdot]$ 逼近的自适应控制系统框图如图 3.7 所示。

用于权值调整的误差指标为

$$E(k) = \frac{1}{2} (y(k) - y_m(k))^2 \quad (3.25)$$

根据梯度下降法, 网络权值学习算法为

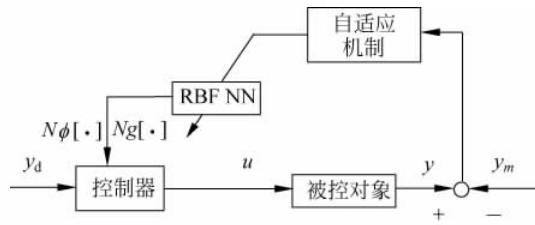


图 3.7 基于 RBF 逼近的自适应控制系统

$$\Delta w_j(k) = -\eta_w \frac{\partial E(k)}{\partial w_j(k)} = \eta_w (y(k) - y_m(k)) h_j(k) \quad (3.26)$$

$$\begin{aligned} \Delta v_j(k) &= -\eta_v \frac{\partial E(k)}{\partial v_j(k)} \\ &= \eta_v (y(k) - y_m(k)) h_j(k) u(k-1) \end{aligned} \quad (3.27)$$

$$\begin{aligned} \mathbf{W}(k) &= \mathbf{W}(k-1) + \Delta \mathbf{W}(k) + \alpha (\mathbf{W}(k-1) - \mathbf{W}(k-2)) \\ \mathbf{V}(k) &= \mathbf{V}(k-1) + \Delta \mathbf{V}(k) + \alpha (\mathbf{V}(k-1) - \mathbf{V}(k-2)) \end{aligned} \quad (3.27)$$

其中, η_w 和 η_v 为学习速率, α 为动量因子。

3.3.3 仿真实例

取被控对象为

$$y(k) = 0.8 \sin(y(k-1)) + 15u(k-1)$$

其中, $g[y(k)] = 0.8 \sin(y(k-1))$, $\phi[y(k)] = 15$ 。

理想跟踪指令为 $y_d(t) = 2.0 \sin(0.1\pi t)$, RBF 神经网络的结构为 1-6-1, 网络的初始权值和高斯函数参数分别设置为 $\mathbf{W} = [0.5, 0.5, 0.5, 0.5, 0.5, 0.5]^T$, $\mathbf{V} = [0.5, 0.5, 0.5, 0.5, 0.5, 0.5]^T$, $\mathbf{c}_j = [0.5, 0.5, 0.5, 0.5, 0.5, 0.5]^T$, $\mathbf{b} = [5, 5, 5, 5, 5, 5]^T$ 。

取学习速率为 $\eta_1 = 0.15$, $\eta_2 = 0.50$, 动量因子为 $\alpha = 0.05$ 。仿真结果如图 3.8~图 3.10 所示。RBF 神经网络自校正控制程序为 chap3_3.m, 详见附录。

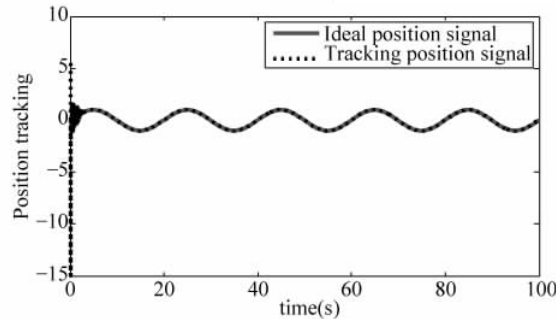
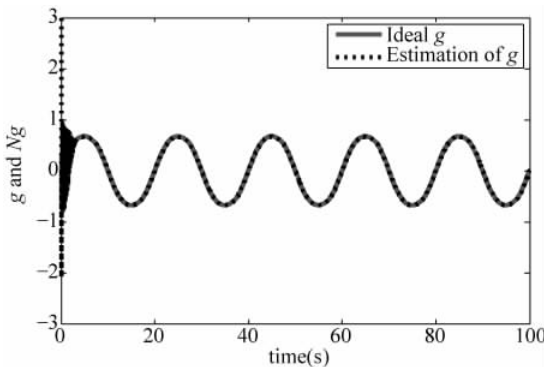
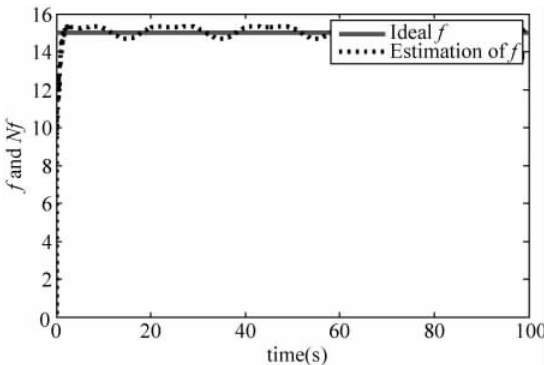


图 3.8 正弦指令的跟踪

图 3.9 $g(x,t)$ 及其估计值 $\hat{g}(x,t)$ 图 3.10 $f(x,t)$ 及其估计值 $\hat{f}(x,t)$

梯度下降法的优点是设计过程简单,但收敛效果取决于初值的选取,采用该方法调整神经网络权值易陷入局部最优,不能保证闭环系统的全局稳定性,因此有很大的局限性。

附录 仿真程序

3.1.2 节的程序

RBF 监督控制仿真程序: chap3_1.m

```
% RBF Supervisory Control
clear all;
close all;

ts = 0.001;
sys = tf(1000,[1,50,2000]);
dsys = c2d(sys,ts,'z');
[num,den] = tfdata(dsys,'v');

y_1 = 0;y_2 = 0;
u_1 = 0;u_2 = 0;
```

----- RBF神经网络自适应控制MATLAB仿真

```
e_1 = 0;

xi = 0;
x = [0, 0]';

b = 0.5 * ones(4, 1);
c = [-2 -1 1 2];
w = rands(4, 1);
w_1 = w;
w_2 = w_1;

xite = 0.30;
alfa = 0.05;

kp = 25;
kd = 0.3;
for k = 1:1:1000
    time(k) = k * ts;
    S = 1;
    if S == 1
        yd(k) = 0.5 * sign(sin(2 * 2 * pi * k * ts)); % Square Signal
    elseif S == 2
        yd(k) = 0.5 * (sin(3 * 2 * pi * k * ts)); % Square Signal
    end

    y(k) = -den(2) * y_1 - den(3) * y_2 + num(2) * u_1 + num(3) * u_2;
    e(k) = yd(k) - y(k);

    xi = yd(k);

    for j = 1:1:4
        h(j) = exp(-norm(xi - c(:, j))^2 / (2 * b(j) * b(j)));
    end
    un(k) = w' * h';

    % PD Controller
    up(k) = kp * x(1) + kd * x(2);

    M = 2;
    if M == 1 % Only Using PID Control
        u(k) = up(k);
    elseif M == 2 % Total control output
        u(k) = up(k) + un(k);
    end

    if u(k) >= 10
        u(k) = 10;
    end
    if u(k) <= -10
        u(k) = -10;
    end
```

```
% Update NN Weight
d_w = -xite * (un(k) - u(k)) * h';
w = w_1 + d_w + alfa * (w_1 - w_2);

w_2 = w_1;
w_1 = w;
u_2 = u_1;
u_1 = u(k);
y_2 = y_1;
y_1 = y(k);

x(1) = e(k); % Calculating P
x(2) = (e(k) - e_1)/ts; % Calculating D
e_1 = e(k);
end

figure(1);
plot(time,yd,'r',time,y,'k','linewidth',2);
xlabel('time(s)'),ylabel('Position tracking');
legend('Ideal position signal','Tracking position signal');

figure(2);
subplot(311);
plot(time,un,'k','linewidth',2);
xlabel('time(s)'),ylabel('un');
legend('Control input with RBF');
subplot(312);
plot(time,up,'k','linewidth',2);
xlabel('time(s)'),ylabel('up');
legend('Control input with P');
subplot(313);
plot(time,u,'k','linewidth',2);
xlabel('time(s)'),ylabel('u');
legend('Total control input');
```

3.2.2 节的程序

基于 RBF 神经网络的模型参考自适应控制：chap3_2.m

```
% Model Reference Adaptive RBF Control
clear all;
close all;

u_1 = 0;
y_1 = 0;
ym_1 = 0;

x = [0,0,0]';
c = [ -3 -2 -1 0 1 2 3;
      -3 -2 -1 0 1 2 3;
      -3 -2 -1 0 1 2 3];
```

----- RBF神经网络自适应控制MATLAB仿真

```
b = 2;
w = rands(1,7);

xite = 0.35;
alfa = 0.05;
h = [0,0,0,0,0,0,0]';

c_1 = c;c_2 = c;
b_1 = b;b_2 = b;
w_1 = w;w_2 = w;

ts = 0.001;
for k = 1:1:3000
time(k) = k * ts;

yd(k) = 0.50 * sin(2 * pi * k * ts);
ym(k) = 0.6 * ym_1 + yd(k);

y(k) = (- 0.1 * y_1 + u_1)/(1 + y_1 ^ 2); % Nonlinear plant

for j = 1:1:7
    h(j) = exp(- norm(x - c(:,j)) ^ 2 / (2 * b ^ 2));
end
u(k) = w * h;

ec(k) = ym(k) - y(k);
dyu(k) = sign((y(k) - y_1) / (u(k) - u_1));

d_w = 0 * w;
for j = 1:1:7
    d_w(j) = xite * ec(k) * h(j) * dyu(k);
end
w = w_1 + d_w + alfa * (w_1 - w_2);
% Return of parameters
u_1 = u(k);
y_1 = y(k);
ym_1 = ym(k);

x(1) = yd(k);
x(2) = ec(k);
x(3) = y(k);

w_2 = w_1;w_1 = w;
end
figure(1);
plot(time,ym,'r',time,y,'k:','linewidth',2);
xlabel('time(s)');ylabel('ym,y');
legend('Ideal position signal','Tracking position signal');
figure(2);
plot(time,u,'r','linewidth',2);
xlabel('time(s)');ylabel('Control input');
```

3.3.3 节的程序

RBF 神经网络自校正控制：chap3_3.m

```
% Self-Correct control based RBF Identification
clear all;
close all;

xite1 = 0.15;
xite2 = 0.50;
alfa = 0.05;

w = 0.5 * ones(6,1);
v = 0.5 * ones(6,1);

cij = 0.50 * ones(1,6);
bj = 5 * ones(6,1);
h = zeros(6,1);

w_1 = w; w_2 = w_1;
v_1 = v; v_2 = v_1;
u_1 = 0; y_1 = 0;

ts = 0.02;
for k = 1:1:5000
    time(k) = k * ts;
    yd(k) = 1.0 * sin(0.1 * pi * k * ts);

    % Practical Plant;
    g(k) = 0.8 * sin(y_1);
    f(k) = 15;
    y(k) = g(k) + f(k) * u_1;

    for j = 1:1:6
        h(j) = exp(-norm(y(k) - cij(:,j))^2/(2 * bj(j) * bj(j)));
    end

    Ng(k) = w' * h;
    Nf(k) = v' * h;

    ym(k) = Ng(k) + Nf(k) * u_1;

    e(k) = y(k) - ym(k);

    d_w = 0 * w;
    for j = 1:1:6
        d_w(j) = xite1 * e(k) * h(j);
    end
    w = w_1 + d_w + alfa * (w_1 - w_2);
```

RBF神经网络自适应控制MATLAB仿真

```
d_v = 0 * v;
for j = 1:1:6
    d_v(j) = xite2 * e(k) * h(j) * u_1;
end
v = v_1 + d_v + alfa * (v_1 - v_2);

u(k) = - Ng(k)/Nf(k) + yd(k)/Nf(k);

u_1 = u(k);
y_1 = y(k);

w_2 = w_1;
w_1 = w;

v_2 = v_1;
v_1 = v;
end

figure(1);
plot(time,yd,'r',time,y,'k:','linewidth',2);
xlabel('time(s)');ylabel('Position tracking');
legend('Ideal position signal','Tracking position signal');

figure(2);
plot(time,g,'r',time,Ng,'k:','linewidth',2);
xlabel('time(s)');ylabel('g and Ng');
legend('Ideal g','Estimation of g');

figure(3);
plot(time,f,'r',time,Nf,'k:','linewidth',2);
xlabel('time(s)');ylabel('f and Nf');
legend('Ideal f','Estimation of f');
```

参考文献

- [1] Noriega J R, Wang H (1998). A direct adaptive neural network control for unknown nonlinear systems and its application. IEEE Trans Neural Netw 9(1):27~34.
- [2] Suykens J A K, Vandewalle J P L, Demoor B L R (1996). Artificial neural networks for modeling and control of nonlinear systems. Kluwer Academic, Boston.
- [3] 刘金琨. 智能控制. 2 版. 北京: 电子工业出版社, 2012.